

الْفَرْدَسُ



## دانشگاه آزاد اسلامی

واحد شاهرود

دانشکده علوم پایه گروه شیمی

پایان نامه برای دریافت درجه کارشناسی ارشد «M. Sc»

گرایش: شیمی فیزیک

عنوان:

مطالعه اثر اسیدهای لوئیس بر واکنش حلق‌زایی ۱ و ۳ دوقطبی بین آزیدو بنزن و آکرولئین

استاد راهنما:

دکتر سعید رضا امامیان

استاد مشاور:

دکتر احسان زاهدی

نگارش:

فتانه شمس

تابستان ۱۳۹۳

تقدیم به

روان پاک پدرم

و

وجود گرانقدر مادرم

## سپاسگزاری

از استاد راهنمای گرامی و بزرگوارم جناب آقای دکتر سعید رضا امامیان سپاسگزارم که علم آموخت و مرا عمری رهین منت خویش ساخت از این رو خالصانه ترین و بالاترین مراتب امتنان و سپاس‌های خویش را به محضرشان تقدیم می‌دارم. از استاد ارجمند جناب آقای دکتر احسان زاهدی به عنوان استاد مشاور و جناب آقای دکتر سید فرامرز طیاری که زحمت مطالعه و داوری پایان نامه را بر عهده داشتند، تشکر و قدردانی می‌نمایم.

## چکیده

در این تحقیق اثر اسیدهای لوئیس  $\text{BF}_3$ ,  $\text{BCl}_3$ ,  $\text{BBr}_3$  بر روی سینتیک و جهتگزینی واکنش حلقه‌ایی ۱،۳-دوقطبی بین آزیدو بنزن و آکرولئین بصورت تئوری در سطح محاسباتی\* B3LYP/6-31G\* مطالعه شده است. نتایج نشان می‌دهد در حالیکه واکنش کاتالیز نشده مورد مطالعه بصورت یک واکنش غیر قطبی، غیر جهتگزین و دارای درجه ناهمزمانی پائین انجام می‌شود، واکنش کاتالیز شده با اسیدهای لوئیس بصورت یک واکنش قطبی، جهتگزین و دارای درجه ناهمزمانی بالا انجام می‌شود. علاوه بر این، سد پتانسیل واکنش در حضور اسیدهای لوئیس بصورت قابل توجهی کاهش می‌یابد و فعالیت کاتالیستی این کاتالیزورها در جهت افزایش خاصیت الکترون‌دوستی آکرولئین و در نتیجه کاهش سد پتانسیل واکنش با افزایش اندازه اتم هالوژن افزایش می‌یابد:  $\text{BBr}_3 > \text{BCl}_3 > \text{BF}_3$ . جهتگزینی در این واکنش‌های کاتالیز شده بدای اثرات الکترونی تحت کنترل اثرات دافعه فضایی بین کاتالیزور و استخلاف فنیل روی آزید قراردارد. علاوه بر این، اثر حلال بر روی سینتیک و جهت گزینی واکنش حلقه‌ایی ۱،۳-دوقطبی مورد مطالعه در غیاب و در حضور کاتالیزورهای اسید لوئیس بررسی شده است.

**کلید واژه‌ها:** حلقه‌ایی ۱،۳-دوقطبی؛ آزیدو بنزن؛ آکرولئین؛ جهت گزینی؛ شاخص‌های واکنش پذیری DFT؛ توابع پار

## فهرست مطالب

صفحه	عنوان
۱	چکیده
۲	فصل اول: واکنش‌های حلقه‌زایی ۱ و ۳ دوقطبی
۳	۱-۱ مقدمه
۵	۲-۱ واکنش‌های پری‌سیکلی
۶	۲-۲-۱ نظریه‌ی بقای تقارن اوربیتالی
۱۵	۲-۲-۲ واکنش‌های نوری
۱۶	۲-۲-۳ نظریه‌ی اوربیتال مولکولی پیشناز
۱۷	۲-۴ نظریه‌ی حالت گذار آروماتیک
۱۹	۳-۱ واکنش‌های حلقه‌زایی
۱۹	۳-۱-۱ واکنش‌های حلقه‌زایی ۱، ۳- دوقطبی
۲۴	۳-۲-۱ جهت گزینی و شیمی فضایی
۲۵	۳-۳-۱ دسته بندی واکنش‌های حلقه‌زایی ۱، ۳- دوقطبی
۲۷	۳-۴ اثرات الکترونی
۲۸	۳-۵ اثرات فضایی

۲۹	۶-۳-۱ حضور اسید لوئیس
۳۰	۴-۱ مروری بر برخی از مطالعات انجام شده بر روی واکنش‌های حلقه‌ای ۱، ۳، ۴ دوقطبی
۴۹	فصل دوم: روش‌های محاسبات کوانتومی
۵۰	۱-۲ مقدمه
۵۰	۲-۲ روش مدلسازی کامپیوترا
۵۲	۱-۲-۲ روش‌های آغازین
۵۲	۱-۱-۲-۲ روش‌های هارتی-فاک
۵۵	۲-۱-۲-۲ روش هارتی-فاک جدید (روش‌های بستگی الکترون)
۵۶	۱-۲-۱-۲-۲ روش‌های بستگی وردشی
۵۷	۲-۲-۱-۲-۲ تئوری اختلال Moler-Plesset
۶۰	۲-۲-۲ روش تابع چگالی
۶۳	۳-۲-۲ سری‌های پایه
۶۴	۱-۳-۲-۲ توابع نوع اسلیتر
۶۵	۲-۳-۲-۲ توابع گوسین
۶۶	۳-۳-۲-۲ سری پایه حداقل
۶۷	۴-۳-۲-۲ سری‌های پایه دوتایی زتا
۶۷	۵-۳-۲-۲ سری پایه ظرفیتی شکافته
۶۸	۶-۳-۲-۲ توابع پایه نفوذی
۶۹	۷-۳-۲-۲ توابع پایه قطبیده
۷۰	۴-۲-۲ معرفی چند محاسبه آغازین
۷۱	۱-۴-۲-۲ محاسبات تک نقطه‌ای
۷۱	۲-۴-۲-۲ محاسبات بهینه‌سازی هندسی
۷۲	۳-۴-۲-۲ محاسبات فرکانس
۷۲	۵-۲-۲ شرح مراحل یک اجرای آغازین
۷۳	۶-۲-۲ فرضیه‌های شیمی کوانتومی آغازین
۷۳	۷-۲-۲ کاربردهای روش آغازین
۷۴	۸-۲-۲ محدودیت‌ها، نکات قوت و اعتبار شیمی کوانتومی آغازین

۷۵	۹ برنامه Gaussian
۷۵	۱۰-۲-۲ روش‌های نیمه تجربی
۷۷	۳-۲ نرم افزارهای شیمی کوانتموی
۷۹	فصل سوم: بحث و نتیجه گیری
۸۰	۱-۳ مقدمه
۸۱	۲-۳ معرفی واکنشگرها و واکنش
۸۲	۳-۳ محاسبات
۸۳	۴-۳ بحث و نتیجه گیری
۹۰	۵-۳ اثر حلال
۹۲	۶-۳ نتیجه گیری
۹۳	۷-۳ پیشنهادات
۹۴	پیوست‌ها
۱۰۵	فهرست منابع
۱۱۴	چکیده انگلیسی

## فهرست جداول‌ها

صفحه	عنوان
۲۱	جدول(۱-۱). ترکیبات ۱،۳-دوقطبی
۳۱	جدول(۲-۱). انرژی‌های HOMO، LUMO (بر حسب au)، پتانسیل شیمیایی $\mu$ (بر حسب a.u) و سختی شیمیایی ( $\eta$ بر حسب a.u) الکترون‌دوستی سرتاسری ( $\omega$ بر حسب eV) برای DZM و MA
۳۳	جدول(۳-۱). B3LYP/6-31G(d) انرژی کل E (بر حسب au)، ( $\Delta E$ , Kcal/mol) و انرژی‌های نسبی مربوط به نقاط ثابت درگیر در دو مسیر ایزومر جهتی واکنش $1^3DC$ بین DZM و MA
۳۸	جدول(۴-۱). تأثیر اسید لوئیس در حلقه‌ای دو قطبی
۴۱	جدول(۵-۱). پتانسیل شیمیایی $\mu$ (بر حسب au)، سختی شیمیایی ( $\eta$ بر حسب au) و الکترون-دوستی سرتاسری ( $\omega$ بر حسب eV) برای نیترون، آکرولئین و سه اسید لوئیس کثوردینه شده به آکرولئین
۴۴	جدول(۶-۱). B3LYP/6-31G(d) انرژی‌های کل E (بر حسب au) و انرژی‌های نسبی ( $\Delta E$ , Kcal/mol) در فاز گاز و دی‌کلرومتان برای نقاط ایستا درگیر در مسیر ایزومر جهتی اندو برای واکنش $1^3DC$ بین نیترون ۱ و آکرولئین ۲، در غیاب و در حضور LA
۸۵	جدول(۳-۱). انرژی‌های آزاد گیس نسبی برای TS‌های ایزومر جهتی درگیر در واکنش DC-1،۳ کاتالیز شده LA بین آزیدوبنزن و آکرولئین
۸۷	جدول(۳-۲). بار خالص در نیمه‌ی آکرولئین-LA برای واکنش $1^3DC$ -1،۳ کاتالیز شده توسط LA بین آزیدوبنزن و آکرولئین
۸۷	جدول(۳-۳). انرژی‌های FMO ( $\epsilon_L$ ، $\epsilon_H$ )، پتانسیل شیمیایی الکترونی، $\mu$ ، سختی شیمیایی، ( $\eta$ ) الکترون‌دوستی سرتاسری، ( $\omega$ ) و هستهدوستی سرتاسری، N، برای حالت پایه‌ی آزیدوبنزن، آکرولئین، و کمپلکس‌های آکرولئین-LA
۸۹	جدول(۴-۳). توابع پار نوکلئوفیلی و الکتروفیلی به همراه شاخص‌های نوکلئوفیلی و الکتروفیلی محلی برای اتم‌های درگیر در واکنش $1^3DC$ -1،۳ کاتالیز شده توسط LA بین آزیدوبنزن و کمپلکس‌های آکرولئین-LA

جدول(۳-۵). انرژی‌های آزاد گیبس نسبی برای TS‌های ایزومر جهتی درگیر در واکنش DC-  
۱،۳ کاتالیز شده توسط LA بین آزیدوبنزن و آکرولئین در حل دیکلرومتان

## فهرست شکل ها

صفحه	عنوان
۴	شکل(۱-۱). مکانیسم هماهنگ
۴	شکل(۲-۱). مکانیسم پی در پی
۷	شکل (۳-۱). سطوح انرژی و عناصر تقارن بوتادی ان
۹	شکل(۴-۱). نمودار سطوح انرژی و عناصر تقارنی بوتادی ان - سیکلوبوتن
۱۱	شکل(۵-۱). نمودار همبستگی با چرخش همسو، واکنش حرارتی بوتادی ان- سیکلوبوتن
۱۳	شکل(۶-۱). نمودار همبستگی با چرخش ناهمسو، واکنش حرارتی بوتادی ان- سیکلوبوتن
۱۴	شکل(۷-۱). قاعدهی عدم تقاطع (واکنش حرارتی بوتادی ان -سیکلوبوتن)
۱۶	شکل(۸-۱). شمای واکنش نوری
۲۵	شکل(۹-۱). پیش‌بینی جهتگزینی حلقه‌افزایی ۱،۳-دوقطبی براساس نظریه اوربیتال‌های مولکولی مرزی. انرژی HOMO و LUMO ی واکنش دهنده (بر حسب eV) در داخل پرانتر ذکر شده است
۲۷	شکل(۱۰-۱). دسته بندی واکنش‌های ۱،۳- دوقطبی بر اساس اوربیتال‌های مولکولی مرزی
۳۰	شکل(۱۱-۱). تغییر در اوربیتال‌های مرزی در اثر کثورینه شدن اسید لونیس با آلان (چپ) و با دوقطبی (راست)
۳۲	شکل(۱۲-۱). نمایش انرژی، بر حسب Kcal/mol، برای واکنش حلقه‌ای ۱،۳-دوقطبی بین DZM و MA
۳۳	شکل(۱۳-۱).IRC B3LYP/6-31G(d) برای مسیر ارتو واکنش حلقه‌ای ۱،۳- دو-قطبی
۳۴	شکل(۱۴-۱). B3LYP/6-31G(d) TS ساختارهای درگیر در دو مسیر ایزومر جهتی برای واکنش حلقه‌ای ۱،۳-دوقطبی بین DZM و AM. فاصله‌ها بر حسب Å داده شده‌اند.
۳۵	شکل(۱۵-۱). ضرایب اوربیتال‌های مرزی: (HOMO(DZM) و LUMO(MA))
۳۵	شکل(۱۶-۱). هستمدوستی موضعی، $K^{-\omega}$ ، برای مراکز DZM و الکترون‌دوستی

موضعی،  $\omega_K^+$ ، برای مراکز MA

شکل(۱۷-۱). توابع فوکوئی نوکلوفیلی،  $f_k$ ، در نیترون ۱ و مقادیر الکترون دوستی محلی  $\omega_k$ ، در آکرولئین ۲، و کمپلکس آکرولئین- $AlCl_3$

شکل(۱۸-۱). نمایش انرژی، در دیکلرومتان بر حسب  $Kcal/mol$ ، برای واکنش‌های حلقمازایی ۱، ۳ - دوقطبی کاتالیز نشده (a) و کاتالیز شده با (b) $AlCl_3$

شکل(۱۹-۱). ساختارهای TS درگیر در ایزومر جهتی اندو بهینه شده توسط -B3LYP/6- $G(d)$  برای واکنش بین نیترون ۱ و آکرولین ۲. فاصله‌ها بر حسب Å داده شده‌اند. مرتبه‌های پیوند داخل کروشه داده شده‌اند.

شکل(۳-۱). واکنش DC-1، ۳-DC بین آزیدوبنزن(D) و آکرولئین(Dph) در غیاب کاتالیزور LA (بالا) و در حضور کاتالیزور LA (پایین)

شکل(۲-۳). ساختارهای هندسی بهینه شده برای (۱، ۴ TS)، چپ، و (۱، ۵ TS)، راست، درگیر در واکنش حلقمازایی کاتالیز نشده DC-3-DC بین آزیدوبنزن و آکرولئین همراه با طول‌های ( $d_1$  و  $d_2$ ) مربوط به پیوندهای سیگمای جدید تشکیل شده

شکل(۳-۳). ساختارهای هندسی بهینه شده برای TS‌های ایزومر جهتی درگیر در واکنش ۱، ۳-DC کاتالیز شده بین آزیدوبنزن و آکرولئین شامل طول پیوندهای یگانه جدید تشکیل شده و میزان غیر همزمانی،  $\Delta d$  بر حسب Å

## فهرست پیوست ها

صفحه	عنوان
۹۵	پ. ۱. اطلاعات ترمودینامیکی آزیدو بنزن محاسبه شده با روش B3LYP و مجموعه پایه ۶-۳۱G*
۹۶	پ. ۲. اطلاعات ترمودینامیکی آکرولئین محاسبه شده با روش B3LYP و مجموعه پایه ۶-۳۱G*
۹۷	پ. ۳. اطلاعات ترمودینامیکی TS(۱,۴) محاسبه شده با روش B3LYP و مجموعه پایه ۶-۳۱G*
۹۸	پ. ۴. اطلاعات ترمودینامیکی TS(۱,۵) محاسبه شده با روش B3LYP و مجموعه پایه ۶-۳۱G*
۹۹	پ. ۵. اطلاعات ترمودینامیکی TS(۱,۴) در حضور BF <sub>3</sub> محاسبه شده با روش B3LYP و مجموعه پایه ۶-۳۱G*
۱۰۰	پ. ۶. اطلاعات ترمودینامیکی TS(۱,۴) در حضور BCl <sub>3</sub> محاسبه شده با روش B3LYP و مجموعه پایه ۶-۳۱G*
۱۰۱	پ. ۷. اطلاعات ترمودینامیکی TS(۱,۴) در حضور BBr <sub>3</sub> محاسبه شده با روش B3LYP و مجموعه پایه ۶-۱G*
۱۰۲	پ. ۸. اطلاعات ترمودینامیکی TS(۱,۵) در حضور BF <sub>3</sub> محاسبه شده با روش B3LYP و مجموعه پایه ۶-۳۱G*
۱۰۳	پ. ۹. اطلاعات ترمودینامیکی TS(۱,۵) در حضور BCl <sub>3</sub> محاسبه شده با روش B3LYP و مجموعه پایه ۶-۳۱G*
۱۰۴	پ. ۱۰. اطلاعات ترمودینامیکی TS(۱,۵) در حضور BBr <sub>3</sub> محاسبه شده با روش B3LYP و مجموعه پایه ۶-۳۱G*

## فصل اول

# واکنش‌های حلقه‌زایی ۱ و ۳ دوقطبی

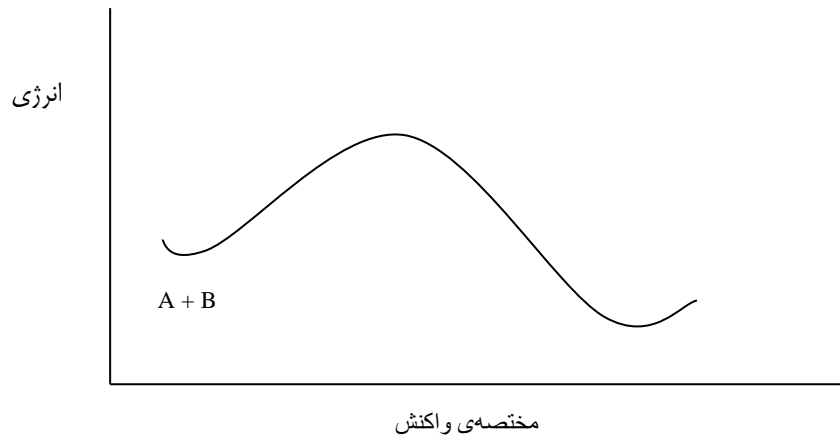
## ۱-۱ مقدمه

واکنش‌هایی که در آنها بیشتر از یک پیوند گستته یا تشکیل می‌شود را می‌توان به دو گروه تقسیم کرد [۸]. در اولین گروه، واکنش در یک مرحله و از طریق یک حالت گذار [۱۳] اتفاق می‌افتد چنین واکنش‌هایی هماهنگ نامیده می‌شوند. نمودار انرژی برای این واکنش‌ها در شکل ۱-۱ نشان داده شده است [۸].

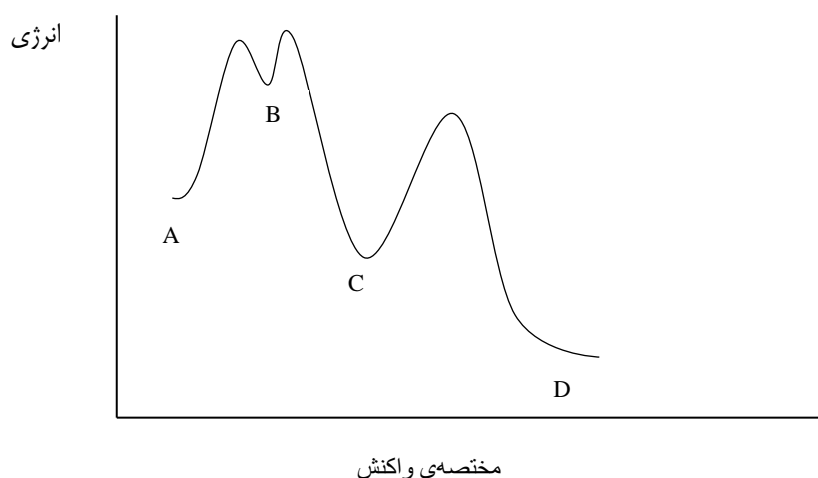
دومین گروه اصلی واکنش‌ها گروهی است که در آن تشکیل یا شکستن پیوند به صورت پی‌درپی انجام می‌شود بنابراین یک یا تعداد بیشتری حدواتر درگیر هستند. این حدواترها ممکن است مولکول‌های پایدار قابل جداسازی باشند، و یا ممکن است گونه‌هایی با واکنش پذیری بالا باشند. اگر حدواترها مولکول‌های پایدار باشند می‌توان انجام واکنش را به صورت دو یا چند واکنش هماهنگ پی‌درپی تقسیم کرد. در صورتی که حدواترها ناپایدار باشند فرایند به صورت یک واکنش چند مرحله‌ای<sup>۱</sup> در نظر گرفته می‌شود. نمودار انرژی برای یک واکنش چند مرحله‌ای ساده در شکل ۲-۱ نشان داده شده است [۸].

---

1.stepwise



شکل(۱-۱). مکانیسم هماهنگ



شکل(۱-۲). مکانیسم پی در پی

در چنین واکنش‌هایی C از A از طریق حد واسط B تشکیل می‌شود. ناپایدار بودن B توسط این حقیقت که کاملاً در یک سطح انرژی کم فرار دارد مشخص می‌شود. آن فقط یک سد انرژی کوچک را دارد که برای تبدیل به محصول یا برگشت به مواد واکنش دهنده باید بر آن غلبه کند. حد واسط C نسبتاً پایدار است و در قسمت عمیق انرژی قرار دارد. اگرچه C اولین محصول قابل جداسازی است که تشکیل می‌شود ممکن است که بعداً در شرایط واکنش به D که پایدارتر است تبدیل شود. C محصول کنترل سینتیکی واکنش A نامیده می‌شود. D که محصول جدا شده بعد از این که سیستم به تعادل رسید می‌باشد محصول کنترل ترمودینامیکی نامیده می‌شود [۸].

## ۱- واکنش‌های پری‌سیکلی

واکنش‌های هماهنگ بدون واسطه رخ می‌دهند. ساختار گذار به طور همزمان شامل تشکیل پیوند و گستره شدن پیوند می‌شود هر چند میزان این دو فرایند، الزاماً یکسان نیست. مثال‌های متعددی از هر دو نوع واکنش هماهنگ تک مولکولی و دو مولکولی وجود دارد. یک گروه به ویژه مهم شامل واکنش‌های پری‌سیکلی هماهنگ می‌شود که مشخصه‌ی آن‌ها سازماندهی دوباره و پیوسته‌ی الکترون‌ها از طریق ساختارهای گذار حلقوی است. به علاوه، ساختار گذار حلقوی باید متناظر با آرایشی از اوربیتال‌های مشارکت کننده باشد که در سرتاسر واکنش، قادر به حفظ یک برهمکنش پیوندی میان اتم‌های واکنش‌دهنده باشد [۴].

واکنش‌های پری‌سیکلی دارای سه سیمای مشترک هستند:

- ۱- معمولاً در میان مواد اولیه و محصولات، حداقل یک مولکول غیر اشباع وجود دارد.
- ۲- واکنش‌ها مستلزم تشکیل یا گسترنمایی پیوندی ۵ و مصرف یا تولید پیوندی ۶ هستند.
- ۳- واکنش‌گرها از یک حالت گذرا مزدوج حلقوی عبور می‌کنند [۷].

واکنش‌های پری‌سیکلی را می‌توان به چند دسته تقسیم نمود که عبارتند از:

- ۱- واکنش‌های الکتروسیکلی
- ۲- واکنش‌های حلقوی
- ۳- واکنش‌های چله تروپی
- ۴- واکنش‌های سیگما تروپی [۵]

سه نظریه برای بررسی واکنش‌های پری‌سیکلی وجود دارد که عبارتند از:

۱. نظریه‌ی بقای تقارن اوربیتالی<sup>۱</sup>: اولین نظریه‌ای است که توسط وودوارد و هافمن برای تشریح واکنش‌های همزمان مطرح شد.
۲. نظریه‌ی اوربیتال مولکولی پیشتاز<sup>۲</sup>: این نظریه را فوکوئی<sup>۳</sup> براساس برهمکنش ترازهای اوربیتال مولکولی، HOMO و LUMO بنا نهاد و به دلیل جامعیت، کاربرد بیشتری دارد.

1. Symmetry conservation of orbital.

2. frontier molecular orbital theory.

3. K. Fukui.

۳. نظریه‌یی حالت گذر آروماتیک<sup>۱</sup> : ساده‌ترین نظریه برای تفسیر واکنش‌های پری‌سیکلی است که به وسیله‌ی دوار<sup>۲</sup> و زیمرمان<sup>۳</sup> ابداع شد [۲].

#### ۱-۲-۱ نظریه‌یی بقای تقارن اوربیتالی

قاعده‌ی اول: واکنش‌های همزمان با حفظ تقارن اوربیتالی انجام می‌گیرند. هر یک از اوربیتال‌های مولکولی مواد اولیه با حفظ تقارن با یک اوربیتال مولکولی همتقارن خود در محصول همبستگی دارد. برای این منظور تقارن تمامی اوربیتال‌های شرکت کننده در برهمکنش در نظر گرفته می‌شود. برای مثال بوتادیان، دو صفحه تقارن  $\sigma$  و  $\sigma'$  و یک محور تقارن  $C_2$  دارد که تقارن تمامی ترازهای آن نسبت به این عناصر تقارنی در شکل (۱-۳) نشان داده شده است.

قاعده‌ی دوم: پیوندهای سیگمای مولکول سخت<sup>۴</sup> هستند و اسکلت اصلی مولکول را می‌سازند. ترازهای اوربیتال مولکولی سخت چنین پیوندهایی در واکنش شرکت نمی‌کنند و در انجام واکنش تأثیر چندانی ندارند.

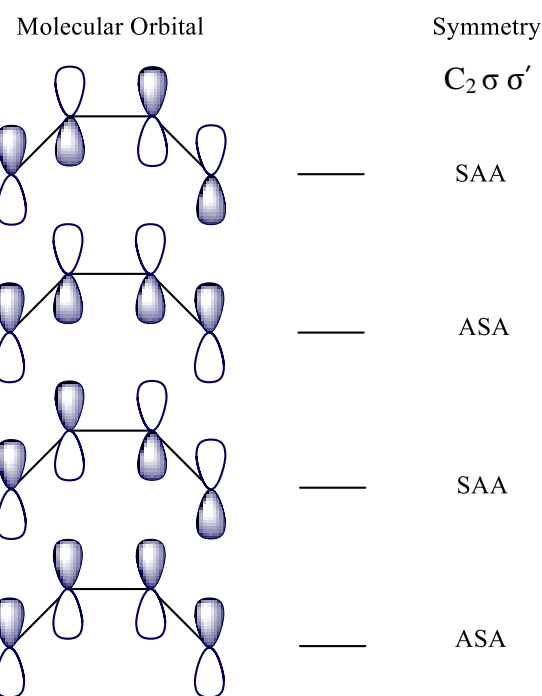
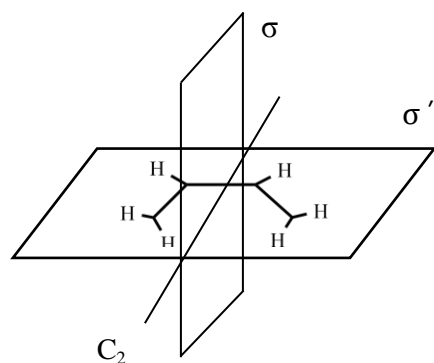
قاعده‌ی سوم: بیشتر مولکول‌ها دارای استخلافند و از نظر تقارنی محدودیت دارند. متیل‌بوتادیان دارای صفحه‌ی تقارن  $\sigma$  و فاقد صفحه‌ی  $\sigma'$  و محور  $C_2$  است. صفحه‌ی تقارن  $\sigma'$  به علت عدم تغییر در خواص تقارنی عملأً بی‌فایده است. اما چگونگی واکنش‌های پری‌سیکلی به وضعیت تقارنی اوربیتال‌های  $P$  پیوندهای  $\pi$  بستگی دارد و شیوه‌ی حرکت همین اوربیتال‌هاست که تعیین‌کننده‌ی شیمی فضایی فراورده‌هاست [۲].

1. transition state aromaticity.

2. M.J. S. Dewar.

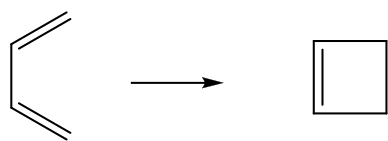
3. H. E. Zimmerman.

4. rigid.

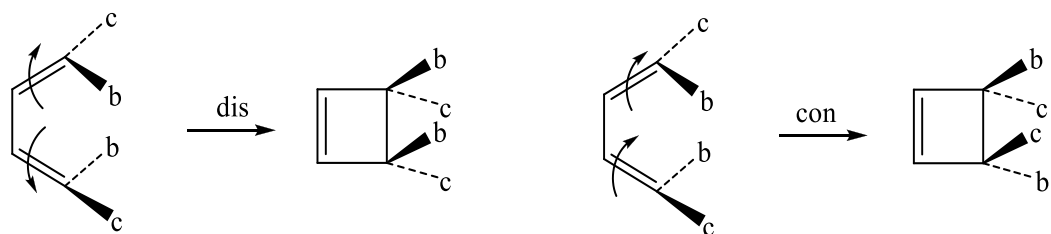


شکل(۳-۱). سطوح انرژی و عناصر تقارن بوتادیان

اثر استخلاف متیل، ثانویه است و در حالت گذر بر انرژی فعالسازی تأثیر می‌گذارد. بنابراین، هنگام بررسی تقارن اوربیتالی مولکول‌های واکنش‌دهنده و فراورده، استخلاف‌ها نادیده گرفته می‌شوند. برای مثال به واکنش بسته شدن بوتادیان و تبدیل به سیکلو بوتن توجه کنید.



فرایند می‌تواند طی دو حرکت همسو یا ناهمسو رخ دهد.



نمودار سطوح انرژی مواد اولیه و محصول در شکل ۴-۱ نشان داده شده است.